

مطالعه نماتودهای بیمارگر حشرات خانواده Steinernematidae و Heterorhabditidae در خراسان شمالی

۱. شکوفه کمالی؛ ۲. جواد کریمی*؛ ۳. ابراهیم شکوهی
۱. دانشجوی دکتری، گروه گیاه‌پزشکی دانشگاه فردوسی مشهد
۲. دانشیار گروه گیاه‌پزشکی دانشگاه فردوسی مشهد
۳. استادیار گروه گیاه‌پزشکی دانشگاه شهید باهنر کرمان
(تاریخ دریافت: ۹۲/۶/۳۰ - تاریخ تصویب: ۹۳/۲/۸)

چکیده

نماتودهای بیمارگر حشرات یکی از مهم‌ترین عوامل کنترل زیستی به‌شمار می‌روند. به‌دلیل کاربرد رو به رشد این گروه از بیمارگرها در دهه‌ی اخیر، شناسایی این عوامل بسیار حائز اهمیت می‌باشد. در این تحقیق به منظور جداسازی نماتودهای بیمارگر احتمالی در خاک، نمونه‌برداری از سه زیستگاه مختلف منطقه‌ی بجنورد در سال ۱۳۹۰ انجام گرفت. در ادامه برای تعیین هویت گونه‌های بومی نماتودهای بیمارگر جمع‌آوری شده، از مشخصات ریخت‌شناسی و ریخت‌سنگی به‌همراه داده‌های مولکولی و لقاح درون و بین‌گونه‌ای استفاده شد. با استفاده از تله‌گذاری با لارو پروانه مومن خوار بزرگ، از بین ۵۰ نمونه خاک جمع‌آوری شده، پنج جدایه از دو جنس *Heterorhabditis* و *Steinernema* گردید. تعیین مشخصات مولکولی با اتکا به مشخصات ریخت‌شناسی و ریخت‌سنگی منجر به گروه‌بندی جدایه‌های *Steinernema* موسوم به Boj1، Boj7، Boj8 و Boj9 در گروه گونه‌ای "feltiae" و جدایه‌ی Boj از جنس *Heterorhabditis* در گروه "bacteriophora" گردید. تحلیل نسب‌زاویه داده‌های توالی ناحیه ژنی ITS نیز، تعلق جدایه‌ها به گروه‌های تعیین شده با مشخصات ریختی را تایید نمود. تبارنمای بازسازی شده براساس ناحیه ژنی ITS نشان داد جدایه‌های مربوط به گروه "feltiae" با سایر جدایه‌های این گروه در یک شاخه قرار می‌گیرند. همچنین جدایه‌ی Boj با سایر جدایه‌های گونه‌ی *H. bacteriophora* در یک شاخه قرار گرفت. نتایج آزمون لقاح درون و بین‌گونه‌ای جدایه‌های Boj1، Boj7، Boj8 و Boj9 با گونه‌ی مرجع *Steinernema feltiae* موید آن بود که جدایه‌ی اول (Boj1) به گونه‌ی *S. feltiae* تعلق دارد. سه جدایه‌ی دیگر (Boj7، Boj8 و Boj9)، به سایر گونه‌های جنس "Steinernema" تعلق داشتند.

کلیدواژگان: خراسان شمالی، رده‌بندی، ریخت‌شناسی، نسب‌زاویه، نماتود بیمارگر حشرات، ITS *Heterorhabditis* *Steinernema*

باکتری‌های گرم منفی *Xenorhabdus* و *Photorhabdus* از خانواده Enterobacteriaceae می‌باشند، که به ترتیب با نماتودهای بیمارگر از خانواده Steinernematidae و Heterorhabditidae رابطه همیزیستی اختصاص دارند (Adams and Nguyen 2002). این گروه از نماتودها دارای چهار سن لاروی می‌باشند که در این بین، تنها

مقدمه

نماتودهای بیمارگر به عنوان عوامل کنترل بیولوژیک، در تنظیم طبیعی جمیعت برخی گونه‌های حشرات خاکری و مخفی‌زی به کار برده می‌شوند. همکاری بین نماتودهای بیمارگر و باکتری‌های همیزیست می‌تواند میزبان را در بازه‌ی زمانی کوتاه از پای درآورد.

در سال‌های اخیر، افزایش تعداد گونه‌های توصیفی شده‌ی نماتودهای بیمارگر حشرات، منجر شده تا تلفیقی از داده‌های ریخت‌سنگی و ریخت‌شناسی، مولکولی و اطلاعاتی نظری نتایج لقادرون و بین‌گونه‌ای (آزمون دگرآمیزی) در مسیر شناسایی نماتودها لازم و ضروری باشد. در این بین، پیشرفته که در روش‌های مولکولی حاصل شده، می‌تواند کمک بزرگی برای شناسایی نماتودها به تاکسونومیست‌ها نماید (Dorris *et al.* 1999, Adams *et al.* 2006).

امروزه شناسایی بسیاری از گونه‌های نماتودهای بیمارگر حشرات با استناد به داده‌های مولکولی تسهیل شده است (Stock and Hunt 2005, Stock 2009).

لقادرون و بین‌گونه‌ای (آزمون دگرآمیزی) شیوه‌ای برای اثبات هویت گونه‌های نماتودهای بیمارگر حشرات است (Nguyen *et al.* 2006). با توجه به اهمیت روز افزون این گروه از عوامل در برنامه‌های کنترل بیولوژیک، در سال‌های اخیر تلاش‌های گسترده‌ای برای جداسازی نماتودهای بیمارگر حشرات در سراسر جهان صورت گرفته است.

در ایران نیز تلاش‌هایی برای جداسازی و معرفی نماتودهای بومی صورت پذیرفته است و تا کنون گونه-*S. carpocapsae*, *Steinernema feltiae* Filipjeve های *S. bicornutum* Tallosi, Peters and Ehlers, Weiser *S. kraussei* Steiner *S. glaseri* Steiner و مختلف ایران گزارش شده است (Parvizi *et al.* 1994, Karimi *et al.* 2009, Eivazian Kary *et al.* 2009, Nikdel *et al.* 2010).

تحقیق حاضر در جهت جداسازی و شناسایی نماتودهای بیمارگر حشرات در زیستگاه‌های اطراف شهرستان بجنورد صورت گرفته است. در این بررسی نمونه‌برداری از سه زیستگاه مختلف صورت پذیرفت و نماتودهای بیمارگر از یک زیستگاه بازیافت و با استفاده از رویکرد مبتنی بر اطلاعات ژن ITS و همچنین مشخصات ریخت‌شناسی و لقادرون و بین‌گونه‌ای شناسایی شدند.

لارو سن سوم موسوم به لارو آلوده کننده توانایی بقاء و پایداری در محیط خارج از بدن میزبان را دارد (Glazer and Lewis 2000).

لارو آلوده کننده در خاک، میزبان مناسب را یافته و از طریق منافذ طبیعی (روزنده‌های تنفسی، دهان، مخرج و سایر منافذ) و یا جلد بدن وارد بدن حشره‌ی میزبان می‌شود. زمانی که نماتود به هموسل میزبان نفوذ می‌کند، باکتری‌های همزیست را آزاد و حشره‌ی میزبان بعد از ۴۸ یا ۷۲ ساعت در اثر عفونت خونی یا توکسین می‌میرد. پس از تکمیل دو تا سه نسل نماتود در بدن میزبان، لارو آلوده کننده از درون لشه خارج و میزبان جدیدی را بهمنظور ادامه‌ی نسل جستجو می‌کند (Lacey and Unruh 2005).

کنترل آفات در خاک با روش‌های کنترل بیولوژیک بسیار مشکل می‌باشد (Grewal *et al.* 2005). با وجود این، نماتودها با توجه به بروز رفتار جستجوگری متفاوت و همچنین سازگاری با خاک توانایی دستیابی و کنترل آفات خاکزی و مخفیزی را دارند (Canhilal and Carner 2006).

از دیگر ویژگی‌های مطلوب نماتودهای بیمارگر حشرات به عنوان عوامل کنترل بیولوژیک می‌توان به دامنه‌ی میزبانی وسیع (راسته‌های گوناگون نظری دو بالان، بالپولکداران، سختبالپوشان، بالغشائیان، بالریشکداران، سوسنی‌ها، موریانه‌ها و ...)، توانایی کشتن میزبان در مدت زمان ۴۸ ساعت، امکان پرورش در محیط‌های غذایی مصنوعی، امکان ذخیره‌سازی با حفظ خاصیت آلوده‌سازی، عدم ایجاد مقاومت در میزبان و بی‌ضرر بودن برای محیط اشاره نمود (Georgis *et al.* 1991, Canhilal and Carner 2006).

بررسی نمونه‌های خاک در مناطق مختلف جهان نشان داده است، فراوانی نماتودهای بیمارگر حشرات با توجه به فصل، زیستگاه و ناحیه‌ی جغرافیایی متفاوت است. از مهم‌ترین عوامل موثر در توزیع و پراکنش نماتودهای بیمارگر می‌توان به رطوبت و بافت خاک، درجه حرارت و وجود میزبان‌ها اشاره نمود (Hominick 2002).

(۱۵۰ سی سی) حاوی اسفنج خرد شده‌ی استریل در دمای ده درجه سلسیوس در پنجاچ نگهداری شد. به منظور تایید بیماری زایی نماتودهای جمع‌آوری شده، آلدودسازی لاروهای پروانه‌ی موم خوار بزرگ با استفاده از نماتودهای دوازده روزه دو مرتبه انجام شد.

شناسایی نماتودهای بیمارگر

مطالعه ریخت‌شناسی و ریخت‌سنگی

به منظور گروه‌بندی اولیه‌ی نماتودهای بیمارگر، میانگین طول بدن لاروهای آلدود کننده اندازه‌گیری شد (Adams and Nguyen 2002). برای تهییه افراد بالغ نسل یک و دو، ابتدا ده لارو سن آخر پروانه‌ی موم خوار بزرگ با استفاده از پنجاچ لارو آلدود کننده آلدودسازی گردید. سپس تشریح لاروهای سن آخر پروانه‌ی موم خوار بزرگ در سومین، چهارمین و ششمین روز پس از آلدودسازی انجام شد. افراد ماده و نر نسل یک به ترتیب در سومین و چهارمین روز و همچنین افراد بالغ نسل دو در ششمین روز فراهم گردیدند.

نماتودها براساس روش دگریس ۱۹۶۹، در محلول تثبیت کننده I (۸۸ سی سی اتانول ${}^{\circ} + ۹۶$ سی سی فرمالدهید + ۱ سی سی اسید استیک + ۱ سی سی گلیسیرین) که تا دمای ۸۰ درجه سلسیوس گرم شده بود در محیط الكل اشبع و دمای ۳۷ درجه سلسیوس برای یک شبانه روز قرار داده شد، سپس چهار ساعت در تثبیت کننده II (۹۵ سی سی اتانول ${}^{\circ} + ۹۶$ سی سی گلیسیرین) قرار گرفتند (De Grisse 1969). پس از تخلیه محلول دوم، نماتودها در محلول تثبیت کننده III (۵۰ سی سی اتانول ${}^{\circ} + ۹۶$ سی سی گلیسیرین) در دمای ۳۷ درجه سلسیوس حداقل برای چهار ساعت نگهداری شدند تا الكل موجود در محلول تثبیت کننده کاملاً تبخیر شود و نماتودها در گلیسیرین خالص باقی بمانند. پس از تثبیت نماتودها، اسلامید میکروسکوپی با استفاده از پارافین و گلیسیرین تهییه گردید. سپس به منظور بررسی ریخت‌شناسی و ترسیم شکل، بخش‌های مختلف بدن توسط میکروسکوپ نوری مجهر به لوله‌ی ترسیم (الیمپوس مدل BH2) اندازه‌گیری و داده‌های ریخت‌شناسی با کلیدهای شناسایی استاک و هانت تطبیق داده شدند (Stock and Hunt 2005).

مواد و روش‌ها

موقعیت جغرافیایی منطقه و نمونه‌برداری خاک به منظور جمع‌آوری نماتودهای بیمارگر حشرات در شهرستان بنورد، تعداد پنجاچ نمونه خاک از سه زیستگاه متفاوت موجود در سطح شهرستان طی ماههای شهریور تا آذر سال ۱۳۹۰ جمع‌آوری گردید. این منطقه از نظر موقعیت جغرافیایی در عرض شمالی $27^{\circ} ۳۲'$ و طول شرقی $57^{\circ} ۱۷'$ قرار دارد. مناطق مورد بررسی شامل چمن‌زارها، پارک‌ها و زمین‌های بایر بود. نمونه‌برداری با فواصل چند متر از یکدیگر و در پروفیل صفر تا سی سانتی‌متری خاک صورت پذیرفت و نمونه‌های خاک به آزمایشگاه منتقل گردید. پس از مخلوط نمودن خاک هر نمونه، مقداری خاک از هر نمونه به ظروف پلاستیکی استوانه‌ای درب‌دار به حجم دویست سی سی منتقل و سپس تعداد پنج لارو سن آخر پروانه‌ی موم خوار بزرگ به عنوان طعمه به هر ظرف اضافه شد (Bedding and Akhurst 1975). این ظروف در دمای محیط 23° تا 25° درجه سلسیوس نگهداری شدند.

جداسازی نماتودهای بیمارگر

ظروف حاوی نمونه خاک و لاروهای در دمای 23° تا 25° درجه‌ی سلسیوس در دوره‌ی زمانی ده روزه نگهداری شد. به منظور بهبود شرایط تحرک و زندگانی نماتودهای بیمارگر احتمالی و نیز جلوگیری از خشک شدن خاک، روزانه هر ظرف تکان داده شد و به مقدار ده سی سی آب مقطر استریل اضافه گردید. لاروهای سن آخر پروانه‌ی موم خوار بزرگ هریک از ظرف‌ها، هر دو روز یک بار به منظور مشاهده‌ی آلدگی احتمالی به نماتود بررسی شد. لاروهای مرده با توجه به علائم و نشانه‌های آلدگی به نماتودهای بیمارگر به ویژه رنگ لاروهای سن آخر آلدود شده با نماتودها (قهقهه‌ای، قرمز و آجری) به طور انفرادی به تله‌ی وايت منتقل شدند (White 1929). بعد از یک هفته، جمع‌آوری لاروهای آلدود کننده به شکل دو روز در میان در دوره‌ی زمانی ده روزه انجام گرفت (Kaya and Stock 1997).

لاروهای آلدود کننده جمع‌آوری شده، با استفاده از آب مقطر استریل، دو بار شستشو و در لوله‌های فالکون

۵-) AB28 و (Vrain *et al.* 1992) TW81 (ATATGCTTAAGTTCAGCGGGT-3' ۵'-GTTTCCGTAGGTGAAACCTGC-3') استفاده شد.

واکنش PCR در حجم ۲۵ میکرولیتر شامل سه میکرولیتر PCR-buffer ۱۰-X، یک میکرولیتر MgCl₂ ۰.۳ mM (25mM)، ۰.۵ میکرولیتر (10mM) dNTPs، ۰.۳ μl Taq پلیمراز (5)، یک میکرولیتر آغازگر آغازگر مستقیم (10 pmol/μl)، یک میکرولیتر آغازگر معکوس (10 pmol/μl) و سه میکرولیتر DNA الگو بود (چرخهٔ حرارتی واکنش PCR و شرایط واکنش در جدول ۱ آمده است).

توالی‌بایی و بررسی روابط تبارشناصی
محصول PCR به منظور توالی‌بایی به شرکت ماکروژن (http://dna.macrogen.com) کره (سئول، کره جنوبی) ارسال گردید. کروماتوگرام توالی‌های بدست آمده با استفاده از نرم افزار BioEdit 7. 0. 5. 3 (Hall 1999). همچنین صورت نیاز ویرایش گردید (نحوی ۰. ۳). همچنین رشته‌های مستقیم و معکوس با استفاده از نرم افزار RSTهای DNA Baser (نسخهٔ دوم) سرهم شدند. مقایسه‌ی توالی با داده‌های معتبر در بانک ژن (Gene bank) از طریق nBLAST (www.ncbi.nlm.gov) انجام پذیرفت.

جدول ۱. شرایط واکنش PCR برای تکثیر ناحیهٔ ژنی ITS در جدایه‌های نماتودهای جداسازی شده

مرحله	دما (سانتی گراد)	زمان (ثانیه)	تعداد چرخه
واسرشت اولیه	۹۴	۴ دقیقه	۱
واسرشت	۹۴	۶۰ ثانیه	۲۵
اتصال	۵۶	۹۰ ثانیه	۲۵
گسترش	۷۲	۶۰ ثانیه	۲۵
گسترش نهایی	۷۲	۷ دقیقه	۱

برای آنالیز تبارشناصی، تعداد بیست و پنج توالی ITS برای جنس Steinernema و بیست و شش توالی ITS برای جنس Heterorhabditis از بانک ژن (NCBI) اخذ گردید. گونه‌ی *Pellioiditis typica* Stefanski دسترسی AF036946 برای جنس Heterorhabditis S. neocurtillae Nguyen and smart دو گونه دو ترتیب با شماره Poinar و S. intermedium

(Thompson *et al.* 1994, Tamura *et al.* 2007, Saitou and Nei 1987, Neighbor_ Joining, MEGA 5 (Thompson *et al.* 1994).

تعیین مشخصات مولکولی استخراج DNA

استخراج DNA با استفاده از کیت ژنومی بایونیر با شماره کاتالوگ K3032 انجام شد (http://www.bioneer.com). بدین منظور از یک فرد نماتود بالغ (ماده) استفاده گردید. نماتودها به داخل میکروتیپ ۱/۵ سی‌سی منتقل و پس از دو بار شستشو با آب مقطر دو بار استریل توسط ازت مایع خرد شدند. سپس ۱۸۰ میکرولیتر بافر TL و ۲۰ میکرولیتر پروتینیاز K به تیوب حاوی نمونه اضافه و به مدت ۳ ساعت در دمای ۶۰ درجه سلسیوس نگهداری شد. بقیه مراحل استخراج با توجه به دستورالعمل شرکت سازنده انجام گرفت. در نهایت DNA استخراج شده برای انجام مطالعات بعدی در دمای ۲۰- درجهٔ سلسیوس نگهداری شد.

واکنش زنجیره‌ای پلیمراز (PCR)

در بررسی حاضر، واکنش زنجیره‌ای پلیمراز (PCR) ناحیه‌ی ژنی ITS برای نمونه‌های جمع‌آوری شده انجام شد. به منظور تکثیر ناحیهٔ ITS از دو جفت آغازگر مستقیم ۱۸S (TTGATTACGTCCCTGCCCTTT-3' ۵'-TTTCACTCGCCGTTACTAAGG-3') و معکوس (28S ۵'-TTTCACCTCGCCGTTACTAAGG-3')

یک جمعیت با میانگین اندازه‌ی بین ۶۰۰ تا ۸۰۰ میکرومتر متعلق به گروه گونه‌ای "intermedium" سه جمعیت با میانگین اندازه‌ی بین ۸۰۰ و ۱۰۰۰ میکرومتر متعلق به گروه گونه‌ای "feltiae" می‌باشد (Stock and Hunt 2005) (جدول ۲).

جدول ۲. گروه‌بندی اولیه توسط میانگین اندازه‌ی طول بدن لاروهای آلوده کننده حشرات جدایه‌های مربوط به جنس

Steinerinema

میانگین طول بدن لارو آلوده کننده	تعداد	گروه گونه‌ای	جنس
۸۰۰ تا ۶۰۰	یک	intermedium	<i>Steinerinema</i>
۱۰۰۰ تا ۸۰۰	سه	feltiae	<i>Steinerinema</i>

جدایه مورد بررسی (گونه *Steinerinema feltiae* Filipjev) ماده نسل اول

دارای کوتیکول صاف، پس از تثبیت به شکل C قرار می‌گیرند. طول بدن^۱ در ماده‌های نسل اول (۶۲۱۰ - ۲۳۰۰ میکرومتر) و بزرگ‌تر از نسل دوم می‌باشد. سر^۲ کوتاه، قدامی و در امتداد بدن می‌باشد. محفظه‌ی دهانی^۳ کوتاه (۵۰ میکرومتر)، پهن به همراه دیواره‌ی کوتیکولی نامشخص می‌باشد. مری کوتاه و ماهیچه‌ای^۴، لوله‌ی اولیه مری^۵ سیلندری و طول آن حدود سه برابر لوله‌ی ثانویه مری، حباب میانی مری^۶ اندکی متورم و فاقد دریچه، لوله‌ی ثانویه مری مشخص و به دنبال آن حباب انتهایی^۷ گلابی شکل حاوی دریچه‌ی سه لختی تحلیل یافته می‌باشد. طول حباب انتهایی ۳۰ میکرومتر و عرض آن ۲۸ میکرومتر می‌باشد. حلقه‌ی عصی^۸ معمولاً در مجاورت لوله‌ی ثانویه یا بخش جلویی حباب انتهایی قرار دارد. منفذ دفعی ترشحی^۹ در ناحیه‌ی لوله ثانویه‌ی مری و در حدود ۶۰ درصدی از طول گردن^{۱۰} به فاصله حدود ۷۷ میکرومتر از ابتدای بدن قرار دارد (منفذ دفعی ترشحی معمولاً در بخش عقبی لوله اولیه‌ی مری قرار

1. Body length
2. Head
3. Stoma
4. Pharynx
5. Procorpus
6. Isthmus
7. Median bulb
8. Terminal Bulb
9. Nerve ring to anterior end
10. Excretory pore
11. Neck

فواصل نوکلتوتیدی با استفاده از روش دو متغیره‌ی Kimura محاسبه گردید (Kimura 1980). آزمون بوت استرپ (هزار تکرار) به منظور ارزیابی و محاسبه میزان پایداری شاخه‌های تبارنمای محاسبه شده استفاده گردید (Felsenstein 1985).

لقادیه گونه‌ای و درون گونه‌ای (آزمون دگرآمیزی) به منظور تایید هویت سه جدایه‌ی بومی در گروه گونه‌ای "feltiae" (جنس *Steinerinema*) لقادیه درون و بین گونه‌ای بین جدایه‌های بومی و گونه‌ی مرجع "S. feltiae" (فراورده‌ی تجاری Entonem) انجام پذیرفت. برای هر جدایه سی تکرار و ده شاهد در نظر گرفته شد. آزمایش در ظروف درب‌دار پلاستیکی (حجم ۸ میلی‌لیتر) پوشیده شده با کاغذ صافی مرتبط انجام شد. به ازای هر ظرف دو عدد لارو آلوده کننده (جدایه‌ی بومی و مرجع) و یک عدد لارو سن آخر پروانه‌ی موم خوار بزرگ قرار داده شد. سپس درب ظروف به طور کامل بسته شد تا از خشک شدن کاغذ صافی جلوگیری شود. ظروف با استفاده از یک نوار پلاستیکی محکم در دمای ۲۵ درجه‌ی سلسیوس در دوره‌ی زمانی سه روزه نگهداری شد. پس از سپری شدن این زمان، لاروهای سن آخر پروانه‌ی موم خوار بزرگ بررسی و اجساد به شکل جداگانه به تلمی وایت انتقال یافتند (Stock 1997).

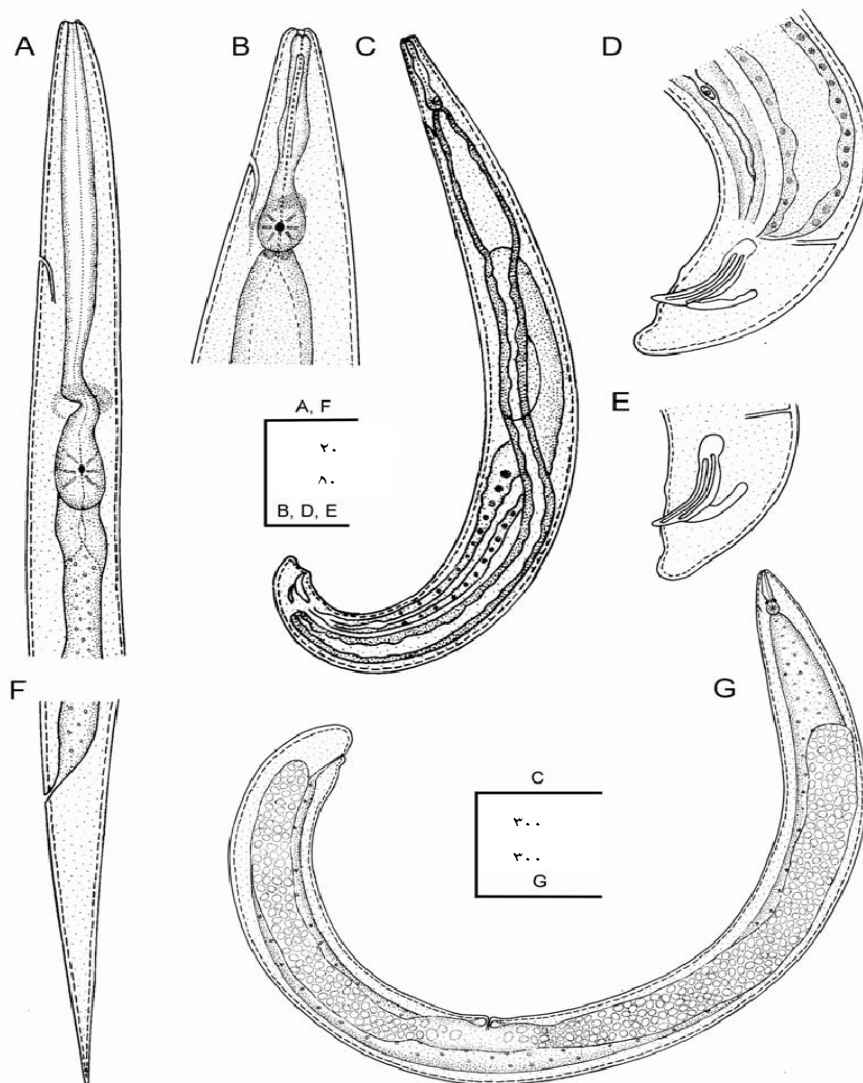
نتایج

جداسازی نماتودهای بیمارگر از خاک از بین پنجاه نمونه خاک جمع‌آوری شده از سه زیستگاه مختلف اطراف شهرستان بجنورد، در پنج نمونه متعلق به یک زیستگاه (صلع جنوبی و ۱۱ کیلومتری بجنورد) وجود نماتودهای بیمارگر تایید شد. با توجه به علائم خاص آلودگی از قبیل رنگ لاروهای سن آخر آلوده شده با نماتودها، بیمارگری و نحوی تکثیر، چهار جمعیت منسوب به Boj1, Boj7, Boj8 و Boj9 متعلق به جنس *Steinerinema* تشخیص داده شد.

شناسایی نماتودهای بیمارگر بومی مطالعه ریخت‌شناسی و ریخت‌سنگی میانگین اندازه‌ی طول بدن لاروهای آلوده کننده مشخص نمود که از بین پنج جمعیت جداسازی شده،

ماهیچه‌ای و حدود کمتر از نیمی از عرض بدن در همان ناحیه را اشغال نموده است. راست روده کمتر از عرض بدن در ناحیه مخرج می‌باشد. دم^۶ در ماده‌های نسل اول گرد و فاقد موکرون^۷ می‌باشد (شکل ۱) (جدول ۳).

دارد. حلقه‌ی عصبی در حدود ۸۰ درصدی از طول گردن و پایین‌تر از منفذ دفعی ترشحی قرار دارد. ماده‌ها دو تخدمانه^۱ و مجرای تخمبر^۲ توسعه یافته می‌باشد. منفذ تناسلی^۳ در بخش میانی بدن، برآمده و دارای اپیپتیگما^۴ کوچک می‌باشد. واژن^۵ کوتاه، دارای دیواره



شکل ۱. تصویر میکروسکوپی ترسیم مربوط به گونه *S. feltiae*

A: بخش جلویی لارو آلوده‌کننده، B: بخش جلویی نماتود نر، C: نمای کلی نماتود نر، D و E: دم نر، F: بخش عقبی لارو آلوده‌کننده، G: نمای کلی ماده

- 1. Ovary
- 2. Oviduct
- 3. Vulva to anterior end
- 4. Epiptygma
- 5. Vagina
- 6. Tail
- 7. Mucro

جدول ۳. مشخصات ریخت‌سنجه ماده‌ی نسل اول و لارو آلوده کننده چهار جدایه *S. feltiae*

Locality	نسل اول				لارو آلوده کننده (لارو سیم سوم)			
	بجنورد	بجنورد	بجنورد	بجنورد	بجنورد	بجنورد	بجنورد	بجنورد
Habitat n	خاک	خاک	خاک	خاک	خاک	خاک	خاک	خاک
Isolate	Boj1	Boj7	Boj8	Boj9	Boj1	Boj7	Boj8	Boj9
Body length	۲۳۰۰-۵۱۱۰ ۴۰۵۳±۱۵۲۹	۴۳۹۰-۴۷۸۰ ۴۵۳۰±۲۱۷	۴۲۰۰-۲۸۴۰ ۳۵۲۹±۹۶۱	۳۹۹۰-۶۲۱۰ ۵۱۰۰±۱۵۶۹	۷۵۰-۸۹۰ ۸۳۳±۷۳	۸۹۰ ۳۰-۳۲	۷۴۰-۸۹۰ ۸۴۰±۸۶	۸۱۰-۹۰۰ ۸۷۰±۵۱
MBW	۱۸۵-۲۵۰ ۲۲۵±۳۵	۲۵۰-۳۱۰ ۲۹۰±۳۴	۲۳۰-۲۵۰ ۲۴۰±۱۴	۱۸۲-۲۸۰ ۲۳۱±۶۸	۲۰-۲۷ ۲۳±۳	۳۰-۳۲ ۳۱±۱	۲۵-۳۲ ۲۹±۳	۲۲-۳۱ ۲۶±۴
Pharynx	۱۲۵-۱۸۲ ۱۵۷±۲۹	۱۶۷-۱۷۵ ۱۷۰±۳	۱۲۰-۱۷۲ ۱۴۶±۳۷	۱۷۲-۱۸۰ ۱۷۹±۵	۹۷-۱۳۰ ۱۱۸±۱۸	۱۱۳-۱۲۶ ۱۱۹±۹	۹۶-۱۲۶ ۱۱۱±۱۵	۱۰۱-۱۱۵ ۱۰۶±۷
Excretory pore ant. end	۹۰-۱۱۰ ۹۹±۱۰	۶۷-۸۵ ۷۵±۸	۷۲ ۷۸±۸	۷۲-۸۵ ۷۸±۸	۴۸-۶۲ ۵۷±۷	۶۴-۶۵ ۶۴±۰.۷	۵۲-۶۴ ۶۰±۶	۵۸-۶۵ ۶۰±۳
Gubernaculum	-	-	-	-	-	-	-	-
Spicules	-	-	-	-	-	-	-	-
Tail	۳۷-۵۵ ۴۳±۱۰	۴۲-۶۰ ۵۱±۸	۳۲-۳۷ ۳۵±۳	۳۵-۴۲ ۳۸±۵	۶۰-۸۵ ۷۲±۱۲	۷۴-۸۱ ۷۷±۴	۷۴-۸۱ ۷۷±۳	۸۰-۹۱ ۸۵±۵
Anus								
Vulva	۵۲-۷۷ ۶۳±۱۲	۷۰-۹۰ ۸۹±۲۲	۵۷-۸۷ ۷۲±۲۱	۵۲-۷۰ ۶۱±۱۲	- -	- -	- -	- -
Vagina	۱۷-۳۲ ۲۳±۸	۲۰-۲۷ ۲۴±۳	۳۰ ۲۰±۷	۱۵-۲۵ -	- -	- -	- -	- -
Mucro	+	+	+	+				
D%*	۶۰.۴-۷۲	۴۰-۴۸.۵	۶۰	۴۲-۴۷.۳	۴۶-۴۹	۵۱-۵۶	۵۰-۵۶	۵۰-۶۴
					۴۸±۱	۵۴±۳	۵۳±۲	۵۶±۶

*D%: نسبت فاصله‌ی منفذ دفعی ترشحی از ابتدای بدن به طول مری × ۱۰۰

سطح جانبی نامشخص است. سر کوتاه، اندکی گرد و در امتداد بدن می‌باشد. محفظه‌ی دهانی کوتاه (۲۵ میکرومتر)، پهن به‌همراه دیواره‌ی کوتیکولی نامشخص می‌باشد. مری ماهیچه‌ای، لوله اولیه مری سیلندری و ۱/۵ برابر لوله‌ی ثانویه می‌باشد. حباب میانی مری اندکی متورم و فاقد دریچه، لوله‌ی ثانویه مری مشخص و به‌دبیان آن حباب انتهایی گلابی شکل حاوی دریچه سه لختی تحلیل یافته، به عرض ۲۹ میکرومتر و طول ۵.۵ میکرومتر می‌باشد. حلقه‌ی عصبی در حدود ۷۷-۷۰ میکرومتر از طول گردن و معمولاً در مجاورت لوله ثانویه یا بخش جلویی حباب انتهایی قرار دارد. منفذ دفعی

ماده‌ی نسل دوم ویژگی‌های کلی، مشابه ماده‌های نسل اول می‌باشد با این اختلاف که در نسل دوم طول بدن کوتاه‌تر، عرض بدن کمتر و سر کوتاه‌تر می‌باشد. همچنین اندازه‌ی دم در نسل دوم در مقایسه با نسل یک بلندتر، باریک‌تر و مخروطی می‌باشد.

نر نسل اول

بدن نماتود پس از تثبیت به‌شکل J می‌باشد. بدن باریک و طول بدن در نرهای نسل یک (۱۲۲۰-۱۷۶۰ میکرومتر) بزرگ‌تر از نرهای نسل دو (۱۰۱۰-۱۴۵۰ میکرومتر) می‌باشد. سطح کوتیکول صاف، شیارهای

گوبربناکولوم^۵ بلند به طول ۵۵-۲۲ میکرومتر و حدود نصف اسپیکول، که ابتدای آن گرد و در انتهای نوک تیز می‌باشد. دم مخروطی، در برخی نمونه‌ها گرد و دارا یا فاقد موکرون می‌باشند (شکل ۱) (جدول ۴). (جدول ۴).

ترشحی مشخص، در محل اتصال حباب میانی با ایسموس و به فاصله ۶۲-۹۷ میکرومتر از ابتدای بدن و حدود ۶۰ درصدی از طول گردن قرار دارد. بیضه^۱ دارای برگشتی، اسپیکول^۲ اندکی خمیده به طول ۱۰۵-۶۷ میکرومتر، فاقد بورسا^۳، مانوبریوم^۴ صاف در برخی گرد،

جدول ۴. مشخصات ریخت‌سنگی نر نسل اول و دوم *S. feltiae* جدایه ۴

Locality	Habitat	n	نر							
			نسل اول بنجورد	نسل اول بنجورد	نسل دوم بنجورد	نسل دوم بنجورد	نسل اول بنجورد	نسل اول بنجورد	نسل دوم بنجورد	نسل دوم بنجورد
Isolate			Boj1	Boj7	Boj8	Boj9	Boj1	Boj7	Boj8	Boj9
Body length		۱۴۹۰-۱۷۶۰	۱۴۵۰-۱۵۷۰	۱۲۲۰-۱۳۸۰	۱۲۴۰-۱۶۵۰	۱۰۱۰-۱۱۸۰	۱۱۰۰-۱۳۰۰	۱۳۴۰-۱۴۵۰	۱۳۵۰-۱۱۸۰	
		۱۶۲۶±۱۳۵	۱۵۲۳±۶۴	۱۲۷۳±۹۲	۱۴۲۹±۲۰۷	۱۰۹۰±۸۵	۱۱۹۰±۱۰۱	۱۳۸۳±۵۸	۱۲۲۳±۷۸	
MBW		۱۲۰-۱۵۰	۱۲۰-۱۴۰	۶۲-۹۷	۱۱۲-۱۳۷	۶۵-۹۲	۶۷-۹۵	۱۰۰-۲۳۴	۶۷-۱۰۷	
		۱۳۵±۱۵	۱۲۶±۱۱	۸۳±۱۸	۱۲۵±۱۲	۷۵±۱۴	۸۲±۱۳	۱۵۴±۷۰	۸۱±۱۲	
Pharynx		۱۵۰-۱۵۵	۱۳۵-۱۵۲	۱۱۲-۱۴۷	۱۰۵-۱۵۷	۱۲۰-۱۳۵	۱۱۲-۱۶۵	۱۱۲-۱۴۷	۱۴۷-۱۵۲	
		۱۵۲±۲		۱۳۳±۱۸	۱۲۸±۲۶	۱۲۷±۷	۱۳۸±۲۶	۱۲۸±۱۷	۱۴۹±۲	
Excretory pore ant. end		۹۰-۹۷	۹۰-۹۷	۸۵-۹۵	۸۷-۶۲	۵۵-۸۰	۶۷-۷۲	۹۲-۷۵	۹۱-۹۵	
		۹۲±۴	۱۴۵±۹	۸۸±۵	۷۵±۱۲	۶۵±۱۳	۷۰±۳	۸۴±۸	۹۲±۲	
Gubernaculum		۳۵-۴۷	۳۵-۵۵	۳۰-۴۰	۲۲-۴۲	۲۵-۳۲	۴۰-۴۵	۴۲-۴۰	۴۲-۳۲	
		۴۱±۶	۴۳±۱۰	۳۷±۵	۳۰±۱۰	۲۸±۳	۴۲±۲	۳۵±۴	۳۷±۵	
Spicules		۷۲-۸۷	۷۰-۱۰۵	۶۷-۷۰	۶۷-۷۲	۶۲-۷۰	۵۵-۷۵	۷۰-۸۲	۵۷-۷۲	
		۷۹±۴	۸۵±۱۷	۶۸±۱	۶۹±۲	۶۵±۳	۶۶±۱۰	۷۸±۷	۶۴±۷	
Tail		۳۰	۲۵-۳۰	۲۲-۳۰	۲۲-۲۷	۲۰-۲۵	۲۰-۳۵	۲۲-۳۰	۲۲-۳۲	
		۳۰	۲۷±۲.۵	۲۶±۳	۲۵±۲	۲۲±۲	۲۶±۷	۲۶±۳	۲۹±۵	
Anus		۳۲-۴۵	۴۰-۴۵	۳۵-۴۷	۳۰-۴۲	۲۷-۳۷	۳۲-۴۷	۳۵-۴۵	۳۰-۴۰	
		۴۱±۶	۴۳±۲	۳۹±۷	۳۵±۶	۳۱±۵	۳۹±۷	۳۸±۵	۳۵±۵	
Vulva		-	-	-	-	-	-	-	-	
Vagina		-	-	-	-	-	-	-	-	
Mucro		-	-	-	-	-	-	-	-	
D%		۵۸-۶۳	۶۳-۶۶	۵۷-۷۵	۴۹-۷۱	۴۴-۶۲	۴۳-۶۰	۵۱-۸۲	۶۱-۶۲	
		۶۰±۳	۶۵±۱	۶۶±۹	۶۰±۱۱	۵۰±۱۰	۵۱±۱۱	۶۷±۱۵	۶۱±۰.۵	

*D%: نسبت فاصله منفذ دفعی ترشحی از ابتدای بدن به طول مری $\times 100$

1. Testis
2. Spicules
3. Bursa
4. Manubrium
5. Gubernaculum

مشخصات مولکولی جدایه‌ها

تکثیر و توالی یابی نواحی ژنی ITS در جدایه‌ها نشان داد که طول ناحیه‌ی ITS برای جدایه‌های Boj1، Boj7، Boj8، Boj9 و HBOj به ترتیب ۹۱۶، ۹۱۶، ۹۱۶، ۹۱۶ و ۷۹۵ جفت باز (bps) می‌باشد. داده‌های مرتبط با توالی ناحیه‌ی ژنی ITS، گروه‌بندی اولیه و ریخت‌شناسی چهار جدایه‌ی فوق را تایید کرد.

تجزیه و تحلیل بلاست نوکلئوتیدی^۱ توالی‌های به دست آمده، بیانگر شباهت جدایه‌های Boj1، Boj7، Boj8 و Boj9 با گروه گونه‌ای "feltiae" جنس "Steinernema" و جدایه‌ی HBOj با گروه گونه‌ای "bacteriophora" جنس *Heterorhabditis* می‌باشد. توالی ناحیه‌ی ITS جدایه‌های Boj1، Boj7، Boj8 و Boj9 با جدایه‌های Boj9 با شماره دسترسی JF920962 Arak7، JF920964 با شماره دسترسی Arak3، JF358016 با شماره دسترسی AY171256 ۹۹- ۱۰۰ درصد شباهت شماره دسترسی ۱/2007 با شماره دسترسی JX993984 نشان داد.

بررسی ماتریس فواصل ژنتیکی و شباهت نوکلئوتیدی چهار جدایه‌ی منسوب به گروه گونه‌ای "feltiae" با سایر گونه‌های جنس *Steinernema* نشان داد که چهار جدایه‌ی Boj1، Boj7، Boj8 و Boj9 کمترین فاصله را با سایر جدایه‌های گونه‌ی *S. feltiae* دارد. همچنین برای جدایه‌های Boj1، Boj7، Boj8 و Boj9 فاصله‌ی نوکلئوتیدی درون‌گونه‌ای مشاهده نشد. تبارنمای بازسازی شده مربوط به ناحیه‌ی ITS نشان داد که جدایه‌های Boj1، Boj7، Boj8 و Boj9 با سایر جدایه‌های گونه‌ی *S. feltiae* با میزان بوتسترپ بالا در یک شاخه قرار گرفتند (شکل ۲). همچنین جدایه‌ی HBOj مربوط به ناحیه‌ی ITS با میزان اعتماد بالایی با سایر جدایه‌های *H. bacteriophora* در یک شاخه قرار

نرهای نسل دوم

ویژگی‌های کلی مشابه نرهای نسل اول می‌باشد (جدول ۴).

لاروهای آلوده‌کننده

نمونه‌ها پس از تثبیت، معمولاً راست و در ناحیه‌ی شکمی اندکی خمیده هستند. بدن استوانه‌ای به طول ۷۴۰-۹۰۰ میکرومتر می‌باشد. بدن آنها از ابتدای مری تا انتهای بخش جلویی بدن^۲ و از فضای مجاور مخرج^۳ تا انتهای دم کمی باریک‌تر می‌شود. سر کوتاه و در امتداد بدن، شیارهای سطوح جانبی^۴ عدد، محفظه‌ی دهانی کوتاه، ناحیه‌ی لب صاف و در امتداد بدن، مری بلند و کشیده به طول ۱۳۰-۹۶ میکرومتر و دارای لوله اولیه مری گسترش یافته است. لوله اولیه مری ۴-۳ برابر لوله ثانویه مری می‌باشد. لوله ثانویه مری باریک و حباب انتهایی مری گلابی شکل دارای دریچه سه لختی تحلیل یافته می‌باشد. طول حباب انتهایی حدود ۱۷ میکرومتر و عرض آن حدود ۱۱ میکرومتر می‌باشد. حلقه‌ی عصبی مشخص، در حدود ۸۰-۷۵ درصدی از طول گردن و در ناحیه لوله ثانویه مری قرار گرفته است. منفذ دفعی ترشحی بین بخش جلویی بدن^۵ قرار گرفته و حدود ۶۵-۴۸ میکرومتر از ابتدای بدن فاصله دارد و در حدود ۵۰ درصدی از طول گردن می‌باشد. کیسه‌ی باکتریایی توسعه یافته، در بخش جلویی روده، نزدیک کاردیا^۶ می‌باشد. راست روده حدود نیمی از عرض بدن در همان ۶۰-۹۱ میکرومتر و فاسمید نامشخص می‌باشد (شکل ۱).

(جدول ۳).

نتایج نشانگر این بود که چهار جدایه‌ی Boj1، Boj7، Boj9 و Boj8 با گونه‌ی *Steinernema filipjevi* و Boj8 بیشترین نزدیکی را دارد. چهار جدایه‌ی Boj1، Boj7، Boj9 و Boj8 به عنوان گونه‌ی *S. feltiae* از خانواده‌ی Steinernematidae شناسایی گردید.

-
1. Anterior end
 2. Anal
 3. Lateral field
 - 4 . Corpus
 5. Cardia

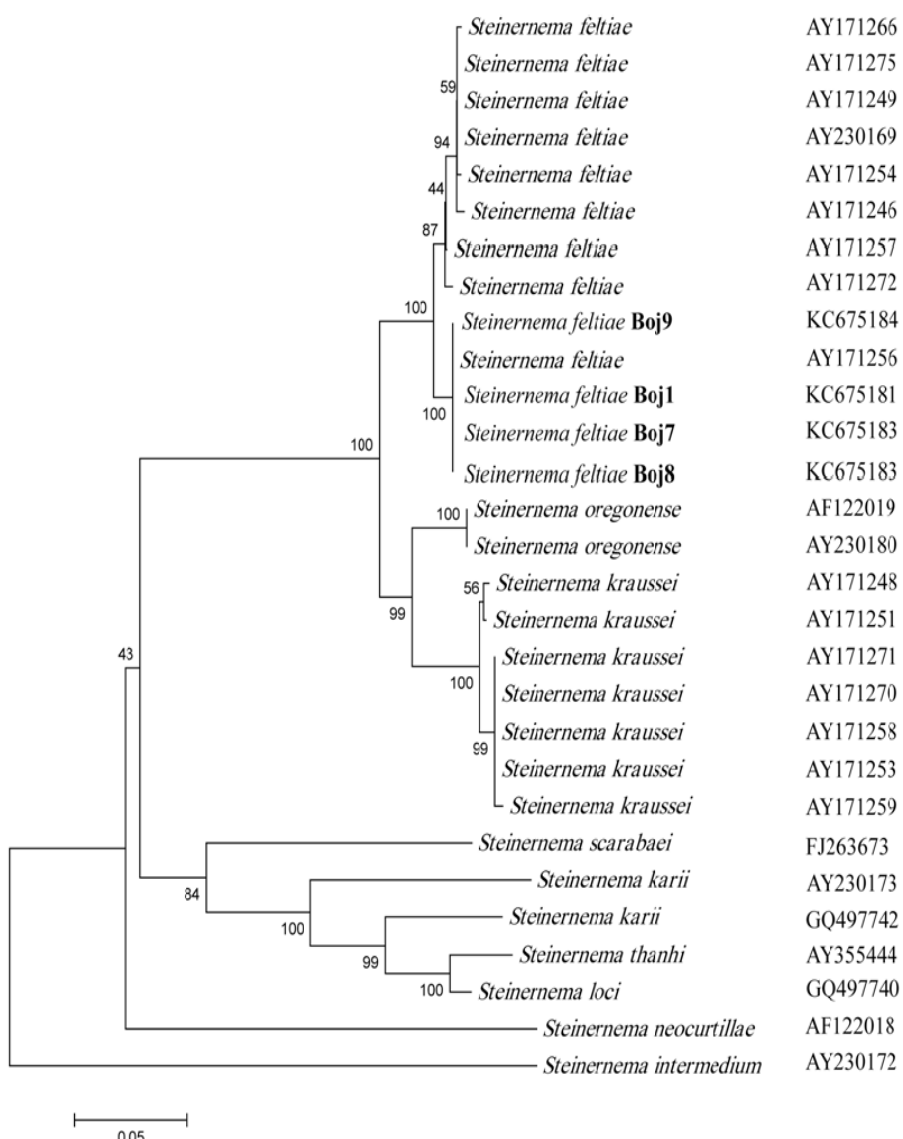
لقالج بین‌گونه‌ای و درون‌گونه‌ای (آزمون دگرآمیزی) آزمون لقالج درون و بین‌گونه‌ای در تمام موارد با نتایج مربوط به تحلیلهای نسبزایی و کلاسیک هماهنگ نبود. از این‌رو لقالج درون و بین‌گونه‌ای جدایه‌های Boj1، Boj7، Boj8 و Boj9 با گونه‌ی مرجه S. feltiae (استفاده شده از فراورده‌ی تجاری Entonem) موید آن بود که جدایه‌ی اول (Boj1) به گونه‌ی S. feltiae و سه جدایه‌ی دیگر (Boj7، Boj8 و Boj9)، به جنس "Steinernema" تعلق دارند.

گرفتند (شکل ۳). توالی‌های حاصل از این بررسی در بانک ژن NCBI ثبت گردید (جدول ۵).

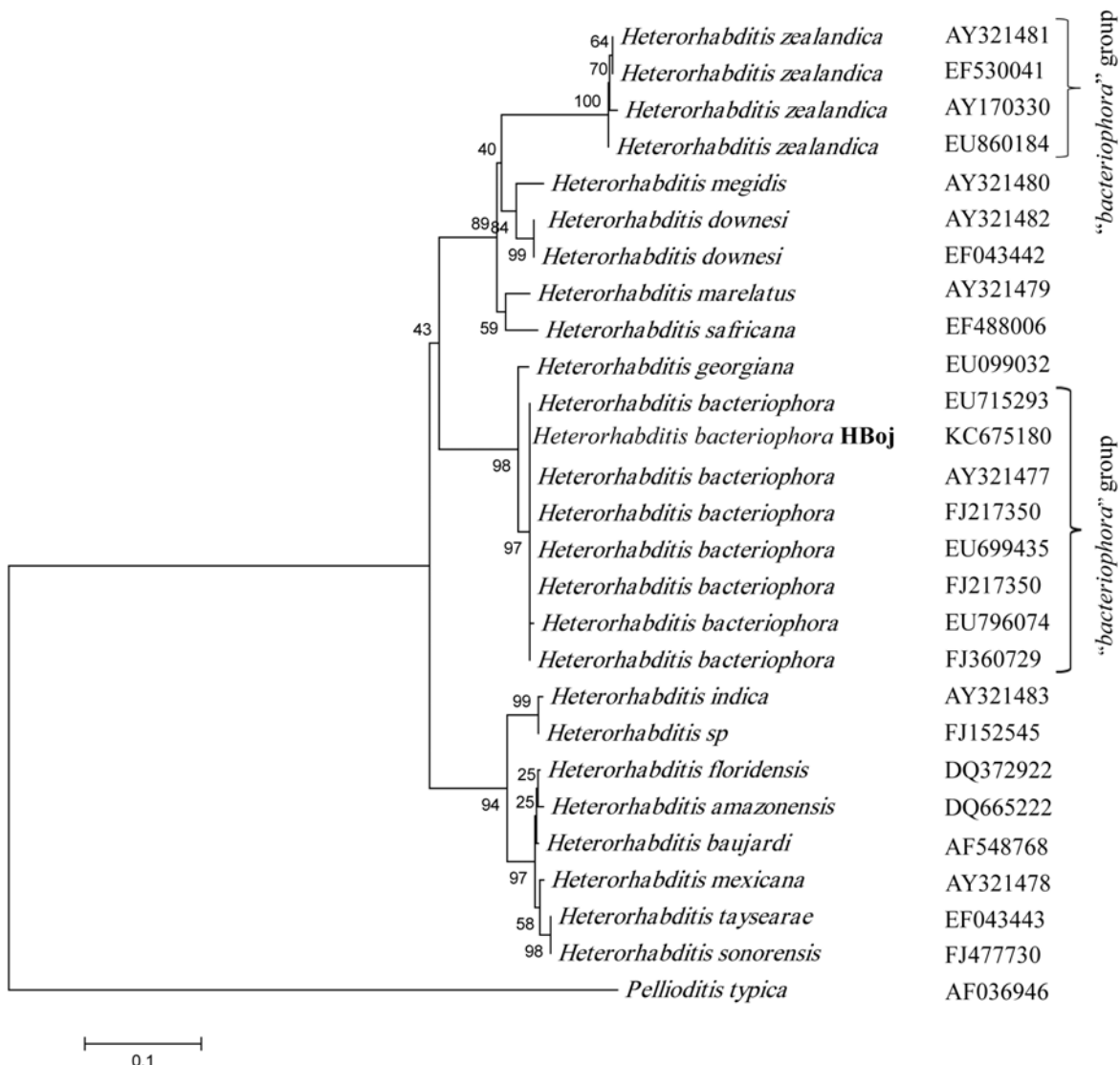
جدول ۵. شماره دسترسی ثبت‌شده مربوط به نواحی ژنی

گونه‌های مطالعه‌شده در بررسی حاضر در بانک ژن

گونه نام‌آور	شماره دسترسی
S. feltiae Boj 1	KC675181
S. feltiae Boj 7	KC675182
S. feltiae Boj 8	KC675183
S. feltiae Boj 9	KC675184
H. bacteriophora HBoj	KC675180



شکل ۲. تبارنمای بازسازی شده بر مبنای ژن ITS در جنس Steinernema گروه Steinernema intermedium NJ. گونه خارجی بوده و اعداد کنار گره معرف میزان بوت استراپ می‌باشد.



شکل ۳. تبارنمای بازسازی شده بر مبنای ژن ITS در جنس *Heterorhabditis* به روش NJ. گونه *Pellioiditis typica* به عنوان گروه خارجی انتخاب گردید و اعداد کنار گره مبین مقادیر بوت استراتاپ می‌باشد.

جنس *Heterorhabditis* و (۱۰ نمونه) ۱/۲ درصد دارای جنس *Steinerinema* بود. حسنی کاخکی و همکاران ۱۳۹۱ نیز زیستگاههای مختلف منطقه‌ی مشهد را بررسی و از بین ۲۶۰ نمونه خاک تنها پنج نمونه (۱ درصد) دارای نماتود بیمارگر بود (Eivazian Kary *et al.* 2009, Hassani kakhki *et al.* 2012).

تشخیص صحیح گونه‌ها و یا جدایه‌های نماتودهای بیمارگر حشرات به دلیل سازگاری جدایه‌ی نماتود با حشره یا شرایط زیست محیطی مورد نظر می‌تواند برای موفقیت در برنامه‌های کنترل بیولوژیک مهم باشد

بحث

در بررسی حاضر از پنجاه نمونه خاک جمع‌آوری شده پنج نمونه دارای نماتودهای بیمارگر حشرات بود. فراوانی نماتودهای بیمارگر از زیستگاههای مختلف زراعی و غیر زراعی استان‌های تهران، مازندران و گلستان از بین ۷۸ نمونه خاک جمع‌آوری شده (به ترتیب تعداد ۳۰، ۳۸ و ۱۰ نمونه) ۰/۴ درصد بود (Tanha Maafi *et al.* 2006). عیوضیان کاری و همکاران از ۸۳۳ نمونه خاک مورد بررسی، (۲۷ نمونه) ۳/۲ درصد را برای وجود نماتودهای بیمارگر گزارش نمودند که (۱۷ نمونه) ۲ درصد دارای

مولکولی به عنوان مکمل روش‌های کلاسیک استفاده گردید.

در دو دهه‌ی اخیر بسیاری از نماتودهای بیمارگر با کمک مارکرهای مولکولی شناسایی و توصیف شده‌اند (Liu and Berry 1996, Stock and Hunt 2005).

روش‌ها نه تنها اهمیت ویژه‌ای برای تفکیک گونه‌های نماتود دارند بلکه جهت برآورد روابط تبارشناسی در سطوح مختلف رده‌بندی نیز ارزشمند می‌باشند (Dorris et al. 1999, Blaxter 2003, Kumari and Lišková 2009) از نواحی هسته‌ای که در جهت شناسایی نماتودهای بیمارگر استفاده می‌شود می‌توان به ژن‌های ۱۸S (زیرواحد کوچک)، ۲۸S (زیرواحد بزرگ) و ITS اشاره نمود (Blaxter et al. 1998, Liu et al. 1999, Szalanaski et al. 2000, Stock et al. 2001, Adams and Nguyen, 2002 Ribisozomی، ژن rDNA (18S) اهمیت ویژه‌ای در تعیین هویت نمونه‌های ناشناخته نماتودها دارد (Blaxter et al. 1998). این زیر واحد به‌دلیل ماهیت حفاظت شده با سرعت کمی تکامل می‌یابد، از این‌رو در بررسی طبقه‌بندی در سطح خانواده استفاده می‌شود (Stock and Hunt 2005). ناحیه‌ی ITS در DNA Ribisozomی Steinernema مارکری مهم در تفکیک گونه‌های جنس (Adams et al. 1998, Heterorhabditis می‌باشد (Szalanaski et al. 2000, Nguyen et al. 2001 نواحی D2/D3 (بخشی از توالی ناحیه‌ی ۲۸S نیز در تعیین هویت نماتودهایی که قرابت چندانی با هم ندارند استفاده می‌شود (Stock et al. 2001, Stock 2009).

در این بررسی جهت شناسایی مولکولی پنج جمعیت Boj1, Boj2, Boj8, Boj9 و HBoj و برسی روابط بین گونه‌های جنس Steinernema و Heterorhabditis از ناحیه‌ی Ribisozomی ITS در بین گروههای پنج گانه‌ی Steinernema متغیر بوده و ممکن است این اختلاف در بین افراد یک گونه نیز مشاهده گردد. از این‌رو این ناحیه‌ی ژنی نمی‌تواند برای تمایز کلیه‌ی گونه‌های Steinernema مارکری مناسب باشد (Stock 2009).

در بررسی جاری از ناحیه‌ی ITS برای تمایز جدایه‌های جمع‌آوری شده نماتودهای بیمارگر استفاده گردید. لازم به ذکر است که ناحیه مذکور در برخی

(Stock 2009). علاوه‌بر این، تجاری کردن این عوامل و حقوق انحصاری برای استفاده از ثبت اختراع و دیگر مسائل قانونی در رابطه با استفاده و کاربرد نماتودهای بیمارگر نیازمند شناسایی دقیق این عوامل بیمارگر می‌باشد (Stock 2009).

در روش‌های کلاسیک برای تعیین هویت گونه‌ها ساختارهایی مانند حفره‌ی دهان، لب، مری، روده، سیستم تولید مثل، اندام‌های حسی و دم توسط میکروسکوپ نوری اندازه‌گیری می‌شود که این، فرایندی Dorris et al. 1999 مشکل و گاه شک برانگیز می‌باشد (Abebe et al. 2011). به‌نظر می‌رسد با افزایش تعداد گونه‌های شناسایی شده، روش‌های کلاسیک از قبیل ریخت‌شناسی مقایسه‌ای در شناسایی یا رده‌بندی نماتودهای بیمارگر به‌دلیل کاهش تنوع در خصوصیات Campos-Herrera et al. 2012) ظاهری استفاده‌ی بهینه ندارد. به‌علاوه، صفات مذکور تنها برای شناسایی مناسب هستند و فاقد هر گونه ارزش تبارشناسی می‌باشند.

برای شناسایی نماتودهای بیمارگر در کنار روش کلاسیک، آزمایش لقادرون و بین‌گونه‌ای مبتنی بر زیست‌شناسی گونه می‌تواند در تشخیص گونه‌های جنس Steinernema موفق باشد. با این وجود نتایج حاصل نیز ممکن است با نتایج مربوط به تحلیل‌های نسبتاً زیست‌شناسی همخوانی نداشته باشد. زیرا دو جدایه متعلق به یک گونه ممکن است به‌دلیل وجود فاصله‌ی جغرافیایی یا سایر عوامل، لقادرهای نداشته باشند اما این نمی‌تواند موبید این باشد که دو جدایه مذکور متعلق به یک گونه نمی‌باشد. مسئله‌ی دیگر موضوع احتمال نفوذ یک لارو آلوده کننده از هر جدایه به بدن میزبان مورد نظر می‌باشد. از این‌رو ممکن است تک فردی که از یک جدایه به‌همراه فردی دیگر از جدایه دیگر جهت ارزیابی دگرآمیزی استفاده می‌شود، بنا به‌دلایل مختلف شناسی برای ورود به میزبان پیدا نکند. در این شرایط نیز به‌دلیل عدم نفوذ و همچنین عدم تولیدمثل این دو جدایه، احتمالاً محقق در تعیین صحیح گونه با مشکل مواجه می‌شود (Nguyen et al. 2006). بنابراین برای حل مشکلاتی از قبیل شناسایی اعضای یک گونه و تمایز گونه‌هایی که ریخت‌شناسی مشابه دارند، از روش‌های

اردبیل، آذربایجان شرقی و مشهد (Tanha Maafi et al. 2006, Eivazian Kary et al. 2009, Karimi et al. 2009, Nikdel et al. 2010, Saffari 2011, Hassani 2012 Parvizi، آذربایجان شرقی، تهران، اراک و مشهد (Parvizi et al. 1998, Eivazian Kary et al. 2009, Karimi and Kharazi-pakdel 2007, Ashtari et al. 2011, Hassani 2012 (kakhki et al. 2012 گزارش شده است.

در بین گونه‌های متعلق به جنس *Heterorhabditis* دارای گستردگی وسیعی در آمریکا، بخش‌های جنوبی و مرکزی اروپا، استرالیا و شرق آسیا می‌باشد (Burnell and Stock 2000).

سپاسگزاری

از معاونت پژوهشی دانشگاه فردوسی مشهد به جهت حمایت از اجرای تحقیق به عنوان بخشی از پایان نامه نگارنده اول تشكر و قدردانی می‌شود.

موارد توانایی تفکیک گونه‌های نماتود بیمارگر را ندارد، در این موارد ژن ۲۸S که توالی آن در گونه‌های مختلف در مقایسه با ناحیه ITS از پایداری بیشتری برخوردار است استفاده می‌شود (Stock and Hunt 2005). این ناحیه نیز در تعیین هویت نماتودهای بیمارگر جنس *Steinerinema* استفاده شده است. استاک و همکاران برای نخستین بار از این ناحیه در جهت بررسی مولکولی نماتودهای بیمارگر استفاده نمودند (Stock et al. 2001).

در مطالعه‌ی جاری چهار جدایه از گونه‌ی *S. feltiae* و یک جدایه از گونه‌ی *H. bacteriophora* از خاک‌های مربوط به مناطق مورد بررسی جداسازی گردید. بهنظر می‌رسد گونه‌ی *S. feltiae* در مقایسه با سایر گونه‌های جنس *Steinerinema* گسترش جهانی دارند. در مقابل، سایر گونه‌های جنس *Steinerinema* پراکنش جغرافیایی محدودتری دارند (Griffin et al. 2005). تا به امروز گونه‌ی *S. feltiae* از استان‌های تهران، مازندران، همدان،

REFERENCES

- Ashtari M, Karimi J, Rezapanah MR, Hassani-kakhki M** (2011) Biocontrol of leopard moth, *Zeuzera pyrina* L. (Lep.: Cossidae) using entomopathogenic nematodes in Iran. IOBC/wprs Bulletin 66: 333-33.
- Abebe E, Mekete T, Tho mas WK** (2011) A critique of current methods in nematode taxonomy. African Journal of Biotechnology 10(3): 312-323.
- Adams BJ, Burnell AM, Powers TO** (1998) A phylogenetic analysis of *Heterorhabditis* (Nemata: Rhabditidae) based on internal transcribed spacer 1 DNA sequence data. Journal of Nematology 30(1): 22-39.
- Adams BJ, Fodor A, Klein MG, Smith HL, Stackebrandt E, Stock SP** (2006) Biodiversity and systematics of nematode-bacterium entomopathogens. Biological Control 37(1): 32-49.
- Adams BJ, Nguyen KB** (2002) Taxonomy and systematic, In: Gaugler R (ed.), Entomopathogenic nematology. CABI Publishing, Oxon, New York. pp. 1-34.
- Bedding RA, Akhurst RJ** (1975) A simple technique for the detection of insect parasitic rhabditid nematodes in soil. Nematologica 21(1): 109–116.
- Blaxter M** (2003) Counting angels with DNA. Nature 421(6919): 122–124.
- Blaxter ML, de Ley P, Garey JR, Liu LX, Scheldeman P, Vierstraete A, Vanfleteren JR, Mackey LY, Dorris M, Frisse LM, Vida JT, Thomas K** (1998) A molecular evolutionary framework for the phylum Nematoda. Nature 392(6671): 71-75.
- Burnell MA, Stock SP** (2000) *Heterorhabditis*, *Steinerinema* and their bacterial symbionts lethal pathogens of insects. Nematology 2(1): 31-42.
- Campos-Herrera R, El-Boral FE, Duncan LW** (2012) Real-time PCR as an effective technique to assess the impact of phoresy by *Paenibacillus* sp. bacteria on *Steinerinema diaprepesi* nematodes in nature. Molecular Ecology 12(5): 885-893.
- Campos-Herrera R, Gutiérrez C** (2009) A laboratory study on the activity of *Steinerinema feltiae* (Rhabditida: Steinernematidae) Rioja strain against horticultural insect pests. Journal of Pest Science 82(3): 305–309.
- Canhilal R, Carner GR** (2006) Natural occurrence of entomopathogenic nematodes (Rhabditida: Steinernematidae and Heterorhabditidae) in South Carolina. Journal of Agricultural and Urban Entomology 23(3): 159–166.
- De Grisse, A.** (1969). Redescription ou modifications de quelques techniques utilisées dans l'étude des

- nematodes phytoparasitaires. Mededelingen van de Rijksfaculteit Landbouwwetenschappen Gent 34: 351-369.
- Dorris M, De Ley P, Blaxter ML** (1999) Molecular analysis of nematode diversity and the evolution of parasitism. *Parasitology Today* 15(5): 188-193.
- Eivazian Kary N, Niknam Gh, Griffen CT, Mohammadi SA, Moghaddam M** (2009) A survey of entomopathogenic nematodes of the families Steinernematidae and Heterorhabditidae (Nematoda: Rhabditida) in the North-West of Iran. *Nematology* 11(1): 107-116.
- Felsenstein J** (1985) Confidence limits on phylogenies: An approach using the bootstrap. *Evolution* 39(4):783-791.
- Georgis R, Kaya HK, Gaugler R** (1991) Effect of steinernematid and heterorhabditid nematodes (Rhabditida: Steinernematidae and Heterorhabditidae) on nontarget arthropods. *Environmental Entomology* 20(3): 815-22.
- Glazer I, Lewis EE** (2000) Bioassays of entomopathogenic nematodes, In: Navon A, Ascher KRS (ed.), *Bioassays of Entomopathogenic Microbes and Nematodes*. New York: CABI Publishing. pp. 229-247.
- Berryman AA** (1999) Principles of population dynamics and their application. Stanley Thorne, UK.
- Grewal PS, Ehlers RÜ, Shapiro-Ilan D** (2005) Nematodes as biocontrol agents. CABI, New York, NY.
- Griffin CT, Boemare NE, Lewis EE** (2005). Biology and behavior, In: Grewal PS, Ehler RÜ, Shapiro-Ilan D (ed.), *Nematode as biocontrol agents*. CABI, Wallingford, UK. pp. 47-64.
- Hassani-Kakhki M, Karimi J, Hosseini M** (2012) Efficacy of entomopathogenic nematodes against potato tuber moth, *Phthorimaea operculella* (Lepidoptera: Gelechiidae) under laboratory conditions. *Biocontrol Science and Technology* 23(2): 146-159.
- Hall TA** (1999) BioEdit: a user friendly biological sequence alignmenteditor and analysis program for Windows 95/98/NT, In: *Nucleic Acids Symposium Series*, n. 41. pp. 95-98
- Hominick WM** (2002) Biogeography, In: Gaugler R (ed.), *Entomopathogenic nematology*. CABI Publishing, Oxon, New York.
- Karimi J, Kharazi-pakdel A** (2007) Incidence of natural infection of the white grub *Polyphylla olivieri* (Coleoptera: Scarabaeidae) with entomopathogenic nematodes in Iran. *Bulletin OIL Bsrop* 30(1): 35-39.
- Karimi J, Kharazi-pakdel A, Yoshiga T** (2009) Insect pathogenic nematode, Steinernema feltiae from Iran. IOBC/wprs Bulletin, 45: 409-412.
- Kaya HK, Stock SP** (1997) Techniques in insect nematology, In: Lacey LA (ed), *Manual of techniques in insect pathology*. Academic Press, London. pp. 281-324
- Kimura M** (1980) A simple method for estimating evolutionary rate of base substitutions through comparative studies of nucleotide sequences. *Journal of Molecular Evolution* 16(2): 111-120.
- Kumari S, L išková M** (2009) Molecular confirmation of *Xiphinema italiae* Meyl, 1953 (Nematoda: Longidoridae) from the Slovak Republic. *Helminthologia* 46(2): 131 –134.
- Lacey LA, Unruh TR** (2005) Biological control of codling moth (*CydiaPomonella*, Lepidoptera: Tortricidae) and its role in integrated pest management, with emphasis on entomopathogens. *Vedalia* 12(1): 33-60.
- Liu J, Berry RE** (1996) Phylogenetic analysis of the genus *Steinernema* by morphological characters and randomly amplified polymorphic DNA fragments. *Fundamental and Applied Nematology* 19(5): 463-469.
- Nikdel M, Niknam G, Griffin CT, Eivazian Kary N** (2010) Diversity of entomopathogenic nematodes (Nematoda: Steinernematidae, Heterorhabditidae) from Arasbaran forests and rangelands in north-west Iran. *Nematology* 12(5): 767-773.
- Nguyen KB, Maruniak J, Adams B J** (2001) Diagnostic and phylogenetic utility of the rDNA internal transcribed spacer sequences of *Steinernema*. *Journal of Nematology* 33(2/3): 73- 82.
- Nguyen KB, Malan AP, Ugur G** (2006) *Steinernema khoisanae* n. sp. (Rhabditida: Steinernematidae), a new entomopathogenic nematode from South Africa. *Nematology* 8(2): 157-175.
- Parvizi R, Barooti Sh, Adldost H** (1998) Entomopathogenic nematodes on cutworms in West Azerbaijan. In: the 13th Iranian Plant Protection Congress, 23-27 Aug., Campus of Agriculture and Natural Resource, University of Tehran, Karaj. In Persian.
- Parvizi R, Barooti SH, Adldost H** (1994) Report on occurrence of entomopathogenic nematodes from Iran. *Applied Entomology and Phytopathology* 62(1): 1-2. In Persian.
- Poinar GO** (1990) Biology and taxonomy of Steinernematidae and Heterorhabditidae, In: Gaugler R, Kaya HK (ed.), *Entomopathogenic nematodes in biological control*. Boca Raton, FL: CRC Press. pp. 23–62
- Saffari T** (2012) Efficacy of Entomopathogenic nematodes, *Steinernema feltiae*, *Steinernema carpocapsae* and *Heterorhabditis bacteriophora* against developmental stages of Onion Thrips in laboratory. MSc Thesis, Bu-Ali Sina University, Hamedan, Iran. [In persian].

- Saitou N, Nei M** (1987) The neighbor-joining method: A new method for reconstructing phylogenetic trees. *Molecular Biology and Evolution* 4(4): 406-425.
- Shapiro-Ilan D, Gouge DH, Piggott SJ, Patterson Fife J** (2006) Application technology and environmental considerations for use of entomopathogenic nematodes in biological control. *Biological Control* 38(1): 124-133.
- Stock SP** (2009) Molecular approaches and taxonomy of insect parasitic and pathogenic nematodes, 0 In: Stock SP, Vandenberg J, Boemare N, Glazer I (ed.), *Molecular Approaches and Techniques*. CABI Publishing, Wallingford, UK. pp. 74-10
- Stock SP, Campbell JF, Nadler SA** (2001) Phylogeny of *Steinernema* Travassos, 1927 (Cephalobina: Steinernematidae) inferred from ribosomal DNA sequences and morphological characters. *Journal of Parasitology* 87(4): 877-889.
- Stock SP, Hunt DJ** (2005) Nematode Morphology and Systematics, In: Grewal PS, Ehlers RÜ, Shapiro-Ilan D (ed.), *Nematodes as Biological Control Agents*. CAB International. pp. 3-43.
- Szalanaski AP, Taylor DB, Mullin PG** (2000) Assessing nuclear and mitochondrial DNA sequence variation within *Steinernema* (Rhabditidae: Steinernematidae). *Journal of Nematology* 32(2): 229- 223.
- Tanha Ma'afi Z, Ebrahimi N, Abootorabi E, Spiridonov S E** (2006) Record of two Steinernematid species from Iran. In: the 17th Iranian Plant Protection Congress, 2-5 September, Campus of Agriculture and Natural Resource, University of Tehran, Karaj. 482. In Persian.
- Tamura K, Dudley J, Nei M, Kumar S** (2007) MEGA4: Molecular Evolutionary Genetics Analysis (MEGA) software version 4.0. *Molecular Biology and Evolution* 24(8): 1596-1599.
- Thompson JD, Higgins DG, Gibson TJ** (1994) CLUSTALW: improving the sensitivity of progressive multiple sequence alignment through sequence weighting, position-specific gap penalties and weight matrix choice. *Nucleic Acids Research* 22(22): 4673-4680.
- Vrain TC, Wakarchuk DA, Levesque AC, Hamilton RI** (1992) Intra specific rDNA restriction fragment length polymorphisms in the *Xiphinema americanum* group. *Fundamental Applied Nematology* 15(6): 563-574.
- White GF** (1929) A method for obtaining infective nematode larvae from cultures. *Science* 66(1709): 302- 303.